

# Aula 5 - Equação geral do calor. Parede Plana

Prof. Dr. Caio<sup>1</sup>, Prof. Akira<sup>2</sup>

---

---

## 1. A Lei de Fourier e a Equação Geral

Lembrando que a Lei de Fourier na sua forma geral é dada por:

$$\vec{q} = -k\nabla T = -k\left(\frac{\partial T}{\partial x}, \frac{\partial T}{\partial y}, \frac{\partial T}{\partial z}\right). \quad (1)$$

Note que com a presença do gradiente na forma geral da Lei de Fourier fica claro o motivo do sinal negativo. Como o calor vai da superfície de maior para menor temperatura, utilizamos o sinal para corrigir o sentido que é contrário ao  
5 gradiente.

Em posse da Lei de Fourier, podemos deduzir a Equação Geral da Condução (também chamada de Equação de Difusão Térmica). Com esta equação será possível encontrarmos a distribuição de temperatura em um meio.

Considerando o volume de controle diferencial  $dx dy dz$  e o sistema de coordenadas cartesianas, pelo balanço energético obtemos que:  
10

$$q_x - q_{x+dx} + q_y - q_{y+dy} + q_z - q_{z+dz} + \dot{E}_{ger} = \dot{E}_{acu}, \quad (2)$$

onde

$$\dot{E}_{ger} = \dot{q} dx dy dz \quad (3)$$

e

$$\dot{E}_{acu} = \rho c_p \frac{\partial T}{\partial t} dx dy dz, \quad (4)$$

---

<sup>1</sup>caiofrs@insper.edu.br.

<sup>2</sup>pauloafe@insper.edu.br.

com  $\rho$  sendo a massa específica,  $c_p$  é o calor específico. Importante observar que  $\dot{q}$  é dado em  $[J/(sm^3)]$ . A grandez  $\rho c_p$  ( $[J/(m^3 K)]$ ) é chamada de capacidade térmica volumétrica e nos fornece a capacidade de um material armazenar energia térmica.

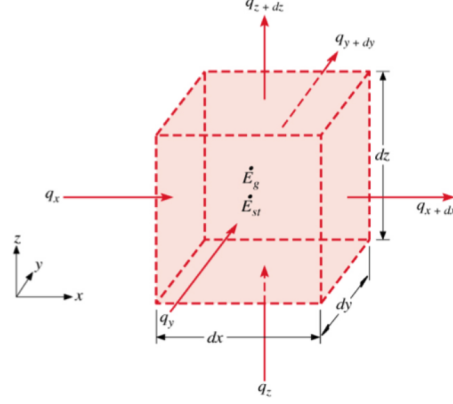


Figura 1: Volume de controle diferencial. Fonte: [1]

15 Expandindo  $q_{x+dx}$ ,  $q_{y+dy}$  e  $q_{z+dz}$  em série de Taylor e realizando o truncamento nos termos de altas ordens, obtemos:

$$\begin{aligned} q_{x+dx} &= q_x + \frac{\partial q_x}{\partial x} dx, \\ q_{y+dy} &= q_y + \frac{\partial q_y}{\partial y} dy, \\ q_{z+dz} &= q_z + \frac{\partial q_z}{\partial z} dz. \end{aligned} \quad (5)$$

Substituindo, as equações (3), (4) e (5) em (2), obtemos:

$$-\frac{\partial q_x}{\partial x} dx - \frac{\partial q_y}{\partial y} dy - \frac{\partial q_z}{\partial z} dz + \dot{q} dx dy dz = \rho c_p \frac{\partial T}{\partial t} dx dy dz. \quad (6)$$

Aplicando a Lei de Fourier na equação (6):

$$\begin{aligned} -\frac{\partial}{\partial x} \left( -k \frac{\partial T}{\partial x} dy dz \right) dx - \frac{\partial}{\partial y} \left( -k \frac{\partial T}{\partial y} dx dz \right) dy - \frac{\partial}{\partial z} \left( -k \frac{\partial T}{\partial z} dx dy \right) dz + \\ + \dot{q} dx dy dz = \rho c_p \frac{\partial T}{\partial t} dx dy dz. \end{aligned} \quad (7)$$

Dividing pelo volume, obtemos a Equação Geral da Condução:

$$-\frac{\partial}{\partial x} \left( -k \frac{\partial T}{\partial x} \right) - \frac{\partial}{\partial y} \left( -k \frac{\partial T}{\partial y} \right) - \frac{\partial}{\partial z} \left( -k \frac{\partial T}{\partial z} \right) + \dot{q} = \rho c_p \frac{\partial T}{\partial t}. \quad (8)$$

O termo  $-\frac{\partial}{\partial x} \left( -k \frac{\partial T}{\partial x} \right) - \frac{\partial}{\partial y} \left( -k \frac{\partial T}{\partial y} \right) - \frac{\partial}{\partial z} \left( -k \frac{\partial T}{\partial z} \right)$  representa a taxa líquida de transferência de energia por condução para o interior do volume de controle. Já,  $\dot{q}$  é a taxa volumétrica de geração de energia térmica. Por fim, o termo  $\rho c_p \frac{\partial T}{\partial t}$  é a taxa de variação da energia térmica acumulada no interior do volume de controle.

A equação (8) pode ser também escrita em coordenadas cilíndricas e esféricas:

$$\frac{1}{r} \frac{\partial}{\partial r} \left( kr \frac{\partial T}{\partial r} \right) + \frac{1}{r^2} \frac{\partial}{\partial \phi} \left( k \frac{\partial T}{\partial \phi} \right) + \frac{\partial}{\partial z} \left( k \frac{\partial T}{\partial z} \right) + \dot{q} = \rho c_p \frac{\partial T}{\partial t}. \quad (9)$$

e

$$\frac{1}{r^2} \frac{\partial}{\partial r} \left( kr^2 \frac{\partial T}{\partial r} \right) + \frac{1}{r^2 \sin^2 \theta} \frac{\partial}{\partial \phi} \left( k \frac{\partial T}{\partial \phi} \right) + \frac{1}{r^2 \sin^2 \theta} \frac{\partial}{\partial \theta} \left( k \sin \theta \frac{\partial T}{\partial \theta} \right) + \dot{q} = \rho c_p \frac{\partial T}{\partial t}. \quad (10)$$

As equações acima referem-se, respectivamente, as figuras figuras 2 e 3.

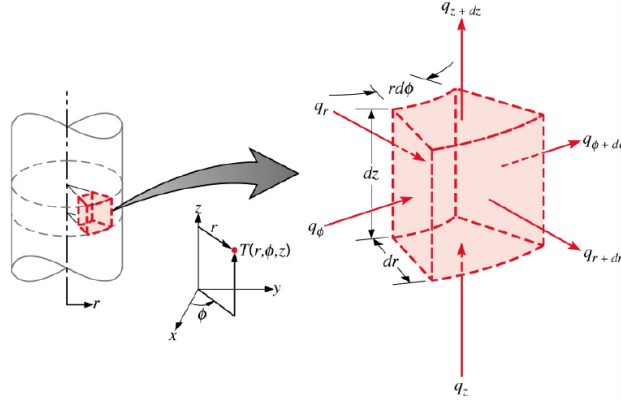


Figura 2: Volume de controle diferencial em coordenadas cilíndricas. Fonte: [1]

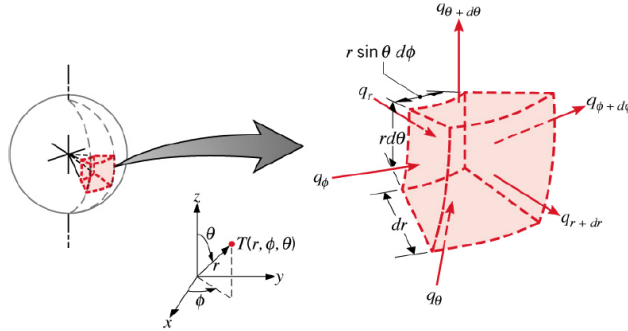


Figura 3: Volume de controle diferencial em coordenadas esféricas. Fonte: [1]

## 2. Propriedades termofísicas na condução

Sabemos que o coeficiente  $k$  refere-se a condutividade térmica, ou seja, a  
 25 propriedade termofísica do material em transferir energia térmica por condução.  
 Podemos também definir, a partir da condutividade térmica, a difusividade.

**Definição 1 (Difusividade térmica).** *trata-se da capacidade de um material de conduzir energia térmica em relação à sua capacidade de acumula-la. Em outras palavras, é a capacidade do material em responder a mudanças no ambiente térmico. A difusividade térmica é dada por:*

$$\alpha = \frac{k}{\rho c_p}, \quad (11)$$

em  $[m^2/s]$ .

Ressaltmos que tanto o coeficiente de condutividade  $k$  quanto o coeficiente  
 de difusividade térmica  $\alpha$  são propriedades do material e podem ser encontradas  
 30 nas tabelas de propriedades.

## 3. O caso unidimensional

Em aula tomamos as seguintes hipóteses:

- condução unidimensional;

- propriedades constantes;
- sem geração.

Dessa forma, a equação (8) fica:

$$k \frac{\partial^2 T}{\partial x^2} = \rho c_p \frac{\partial T}{\partial t} \quad (12)$$

Substituindo (11) em (12):

$$\frac{\partial^2 T}{\partial x^2} = \frac{1}{\alpha} \frac{\partial T}{\partial t}. \quad (13)$$

Note que como a equação (13) é de primeira ordem na variável  $t$  e de segunda ordem na variável  $x$ , então precisaremos de três condições de contorno para resolver a equação. Mais especificamente, precisaremos de uma distribuição inicial da temperatura no tempo e duas condições iniciais para o espaço. As condições de contorno que usaremos são condições de Dirichelt e Neumann. As condições de Dirichelt se nos dão valores da função no domínio. Já as condições de contorno de Neumann nos fornecem a derivada normal ao domínio da função em questão. As figuras 4, 5, 6 e 7 mostram algumas das condições de contorno possíveis.

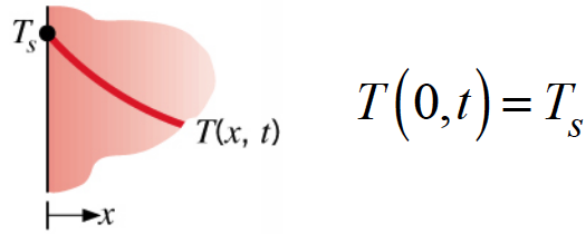


Figura 4: Temperatura superficial constante. Fonte: [1]

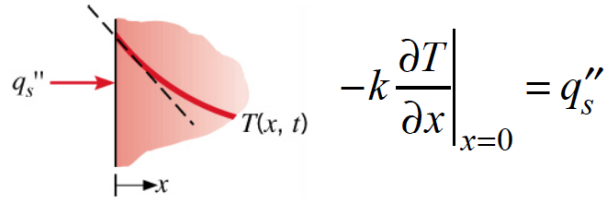


Figura 5: Fluxo de calor constante constante. Fonte: [1]

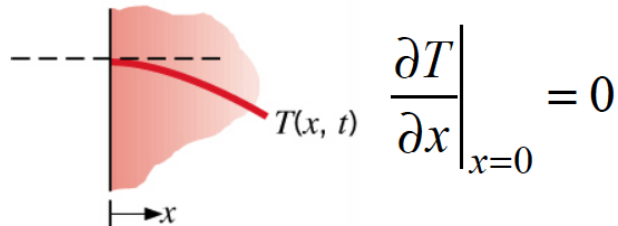


Figura 6: Superfície adiabática. Fonte: [1]

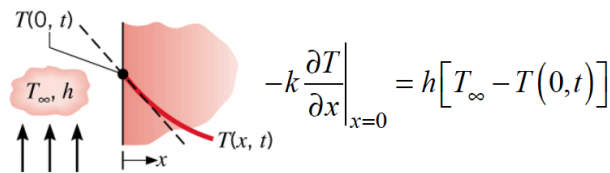


Figura 7: Convecção na superfície. Fonte: [1]

#### 45 4. Exercícios

1. Considere condições de regime permanente na condução unidimensional em uma parede plana com uma condutividade térmica  $k = 50W/(m \cdot K)$  e espessura  $L = 25cm$  sem geração interna de calor. Determine o fluxo térmico e a grandeza desconhecida em cada caso e esboce a distribuição de temperaturas, indicando o sentido do fluxo térmico. As temperaturas estão em  $^{\circ}C$  e os gradientes em  $K/m$

50

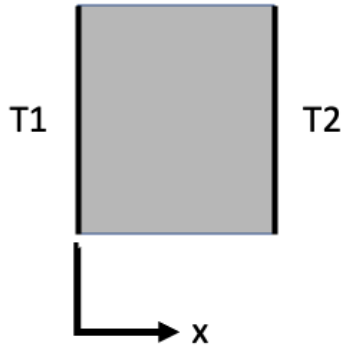


Figura 8: Parede plana.

- $T_1 = 50, T_2 = -20$
- $T_1 = -30, T_2 = -10$
- $T_1 = 70, \frac{dT}{dx} = 160$
- $T_2 = 40, \frac{dT}{dx} = -80$
- $T_2 = 30, \frac{dT}{dx} = 200$

55

2. Um aparelho para medir condutividade térmica emprega um aquecedor elétrico que é posicionado entre duas amostras idênticas, com  $30mm$  de diâmetro e  $60mm$  de comprimento, que são pressionadas entre placas que são mantidas a uma temperatura uniforme de  $T_0 = 77^\circ C$ , por um fluido circulante. Uma graxa condutora é colocada entre todas as superfícies para garantir um bom contato térmico. Termopares diferenciais, espaçados de  $15mm$ , são instalados no interior das amostras. As superfícies laterais das amostras são isoladas de modo a garantir transferência de calor unidimensionalmente através das amostras.

60

65

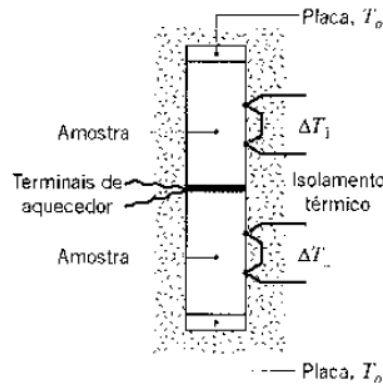


Figura 9: Sistema térmico com termopar e amostras. Fonte: [1]

- Com duas amostras de aço inoxidável 316 no aparelho, a uma corrente elétrica no aquecedor é de  $0.353A$  a  $100V$ , e os termopares diferenciais indicam  $\Delta T_1 = \Delta T_2 = 25^\circ C$ . Qual é condutividade térmica do aço inoxidável das amostras? Qual é a temperatura média das amostras?
- Por engano, uma amostra de ferro Armco foi colocada na posição inferior do aparelho. Na posição superior permanece a amostra de aço inoxidável 316 utilizada no item anterior. Para essa situação, a corrente no aquecedor é de  $0.601A$  a  $100V$ , e os termopares diferenciais indicam  $\Delta T_1 = \Delta T_2 = 15^\circ C$ . Quais são a condutividade térmica e a temperatura média da amostra de ferro Armco?
- Qual é a vantagem em se construir o aparelho com duas amostras idênticas imprensando o aquecedor ao invés de construí-lo com uma única combinação aquecedor-amostra? Quando a perda de calor pelas superfícies laterais das amostras se tornaria significativa? Em quais condições você esperaria  $\Delta T_1 \neq \Delta T_2$ ?

### Gabarito

- $q''_x = 14kW/m^2$ ,  $\frac{dT}{dx} = -280K/m$



- $q''_x = -4kW/m^2, \frac{dT}{dx} = 80K/m$
- $q''_x = 8kW/m^2, T_2 = 110^\circ C$
- $q''_x = 4kW/m^2, T_1 = 60^\circ C$
- $q''_x = -10kW/m^2, T_1 = 20^\circ C$
- 2. •  $k = 14.98W/(m \cdot K), T_m = 127^\circ C.$
- $k = 70.04W/(m \cdot K), T_m = 107^\circ C$

## 90 Referências

- [1] F. P. Incropera, P. DeWitt, Bergamn, Lavine, Fundamentos de Transferência de Calor e de Massa, LTC, 2008.